

بسمه تعالی



تحصیلات تکمیلی

پایان نامه کارشناسی ارشد شیمی

گرایش شیمی فیزیک

عنوان:

محاسبات کوانتوم مکانیکی برای تعیین پایداری نسبی ایزومرهای Z و E در ایلیدهای فسفر همراه با افزایش ازدحام فضایی بر روی گروه الکیل

استاد راهنما:

دکتر سید مصطفی حبیبی خراسانی

استاد مشاور:

دکتر علی ابراهیمی

تحقیق و نگارش:

علی پاک نهاد

(این پایان نامه از حمایت مالی معاونت پژوهشی دانشگاه سیستان و بلوچستان بهره مند شده است)

شهریور ۱۳۹۰

بسمه تعالی

این پایان نامه با عنوان محاسبات کوانتوم مکانیکی برای تعیین پایداری ایزومرها Z و E در ایلیدهای فسفر، همراه با افزایش ازدحام فضایی بروی گروه الکیل قسمتی از برنامه آموزشی دوره کارشناسی ارشد شیمی فیزیک توسط دانشجو علی پاک نهاد تحت راهنمایی دکتر سید مصطفی حبیبی خراسانی تهیه شده است. استفاده از مطالب آن به منظور اهداف آموزشی با ذکر مرجع و اطلاع کتبی به حوزه تحصیلات تکمیلی دانشگاه سیستان و بلوچستان مجاز می باشد.

علی پاک نهاد

این پایان نامه **۸** واحد درسی شناخته می شود و در تاریخ **۱۳۹۰/۶/۳۱** توسط هیئت داوران بررسی و درجه **عالی** به آن تعلق گرفت.

نام و نام خانوادگی	امضاء	تاریخ	استاد راهنما:
دکتر مصطفی حبیبی خراسانی			
دکتر علی ابراهیمی			استاد مشاور:
دکتر ملک طاهر مقصودلو			داور ۱:
دکتر علی اکبر میرزایی			داور ۲:
دکتر حمیده سراوانی			نایابنده تحصیلات
			تکمیلی:



تعهد نامه اصالت اثر

اینجانب علی پاک نهاد تایید می کنم که مطالب مندرج در این پایان نامه حاصل کار پژوهشی اینجانب است و بر دستاوردهای پژوهشی دیگران که در این نوشه از آن استفاده شده است مطابق مقررات ارجاع گردیده است. این پایان نامه پیش از این برای احراز هیچ مدرک هم سطح یا بالاتر ارائه نشده است.

کلیه حقوق مادی و معنوی این اثر متعلق به دانشگاه سیستان و بلوچستان می باشد.

نام و نام خانوادگی دانشجو:

امضاء

تّقدیم به:

همسر مهربانم که ساره محبت و عشق است

اولین و عزیزترین مویست الٰی، پدرم

و فرشته جاودان زنگی ام، مادرم

و تقدیم به خواهر عزیزم

آنکه دلایل دخت پربار وجودشان آسایش و از ریشه آنها شاخ و برگ گرفتام و دلایل

وجودشان در راه کسب علم و دانش تلاش نموده ام.

بودشان تلخ افتخاری است بر سرم و ناشان دلیلی است بر بونم چرا

که این دو وجود پس از پرورگاریم، هیچ ام بوده اند، و تنها را که فقط در راه رفتن

راد این دادی زنگی پر از فرازو نشیب آموخته اند.

سپاسگزاری

سپاس خدای را

که اول است و پیش از او اولی نبوده و آخر است و پس از او آخری نباشد.

خدایی که دیده های بینندگان از دیدنش ناتوانند و اندیشه های وصف کنندگان از عهده وصفش برنيایند
اکنون که زمان سپاسگزاری فراهم شده بر خود لازم می دانم که از همه ای عزیزانی که همراه و همگام لحظاتم
بودند نهایت تشکر را داشته باشم.

از استاد بزرگوارم جناب آقای دکتر سید مصطفی حبیبی خراسانی به عنوان استاد راهنمای همواره همگام
لحظاتم بودند، با امید به اینکه بتوانم علم و اخلاق این بزرگوار را در تمام مراحل زندگیم سرلوحه ای امور قرار
دهم.

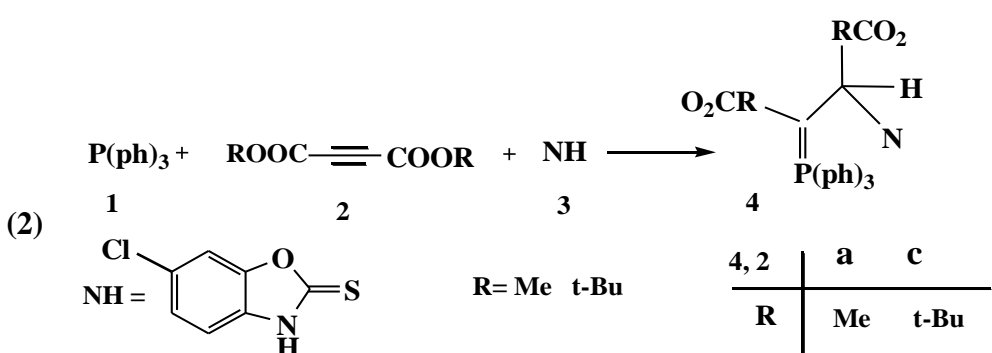
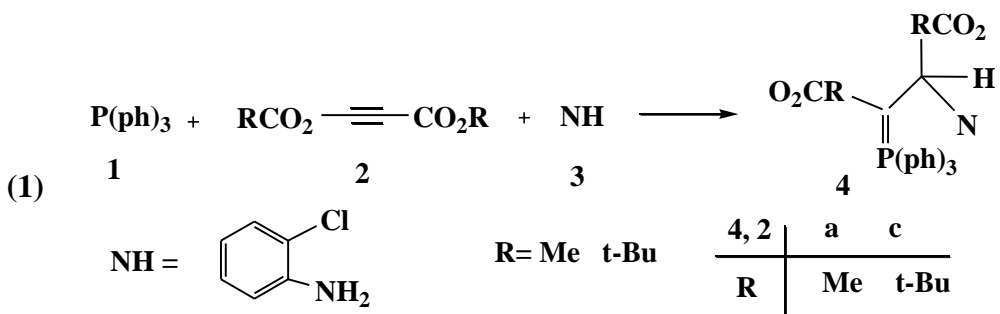
از جناب آقای دکتر علی ابراهیمی به عنوان استاد مشاورم که هیچ گاه الطاف خود را از من دریغ نفرمودند.
از جناب آقای دکتر ملک طاهر مقصودلو و جناب آقای دکتر علی اکبر میرزاکی که زحمت داوری این پایان نامه
را متقبل شدند و از تمامی استادی محترم گروه شیمی دانشگاه سیستان و بلوچستان که همواره از آنان در تمام
مدت تحصیلم بهره بسیار برده ام، جای سپاس و قدردانی دارم.

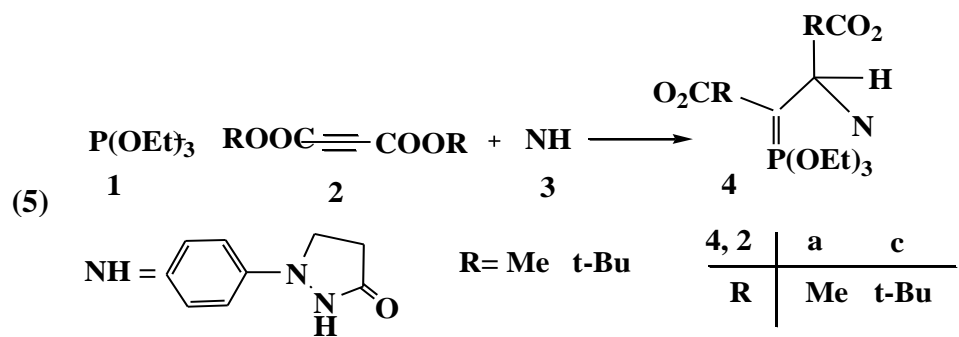
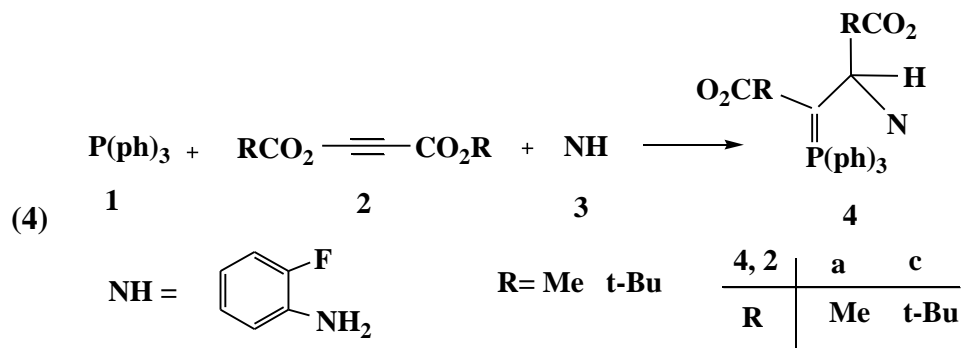
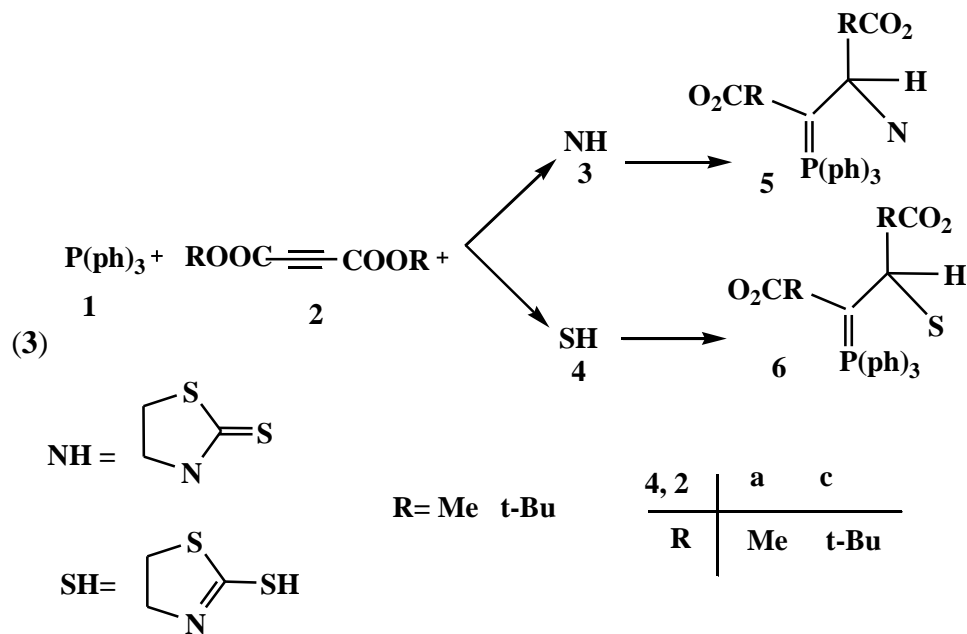
از همراهی جناب آقایان مهدی شهرکی، محمد امین کاظمیان و سرکار خانم ها محمدی، اقداعی و خواجه
علی که در طی این دوره با راهنمایی ها و زحمات بی دریغ خود یار و مددکار اینجانب بودند تشکر و قدردانی
ویژه دارم.

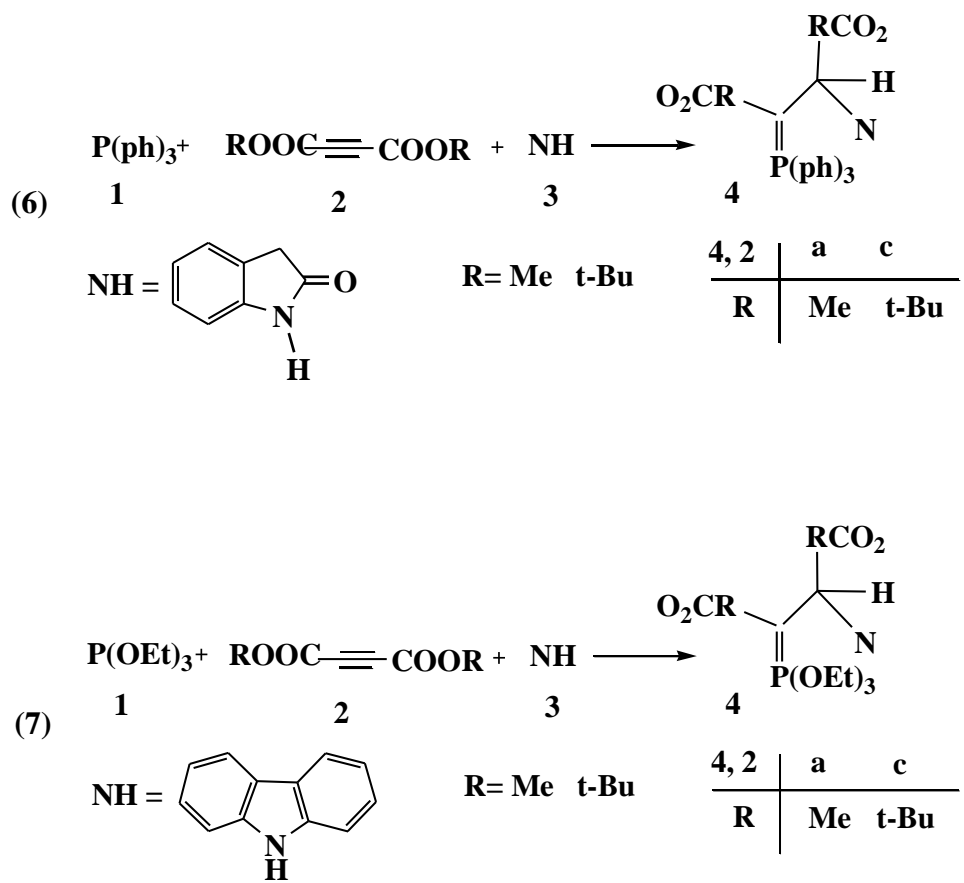
با تشکر فراوان از دوستان عزیزم آقایان: مسعودی، لشکری، سجادی خواه، موسوی، حجی ابادی، شیخ تبار،
اسماعیلی مقدم، جوادی، بهبودی، گلزارپور، حسینی، اولیایی ترشیزی، قلندرزهی، اشری، حیدری، علیزاده، و
تمامی دوستانی که که در طی این مدت خاطرات به یاد ماندنی را در ذهنم رقم زدند.

چکیده

در این کار، پایداری نسبی ایزومرهاي چرخشی Z و E در ایلیدهای فسفر حاصل از واکنش بین تری فنیل-فسفین یا تری اتیل فسفیت با دی‌آلکیل استیلن‌دی‌کربوکسیلات در حضور N-H اسیدها (واکنشهای ذیل) توسط روش‌های AIM ، NPA و نرم افزار GUASSIAN 03 محاسبه شده. محاسبات کوانتم مکانیکی حضور دو ایزومر هندسی Z, E را بادرصد فراوانی متفاوت تائید می‌کند. هفت دسته از واکنش‌های ذیل در این پایان نامه، به همین منظور مورد مطالعه و بررسی همه جانبه قرار گفته اند.







کلمات کلیدی: تریفنیل فسفین، تری اتیل فسفیت، دی آکریل استیلن دی کربوکسیلات، ایزومرهای Z و E

ایلیدهای فسفر پایدار، AIM

فهرست مطالب

عنوان	
صفحة	
۱	فصل ۱
۱	معرفی ایلیدهای فسفر
۲	۱-۱- مقدمه
۲	۱-۲- ایلیدهای فسفر
۸	۱-۲-۱- انواع ایلید [۱۳]
۹	۱-۳- ساختار و ماهیت پیوند شیمیایی در ایلیدهای فسفر
۱۰	۱-۴- ایزومری در ایلیدها [۱۶]
۱۳	۱-۵- واکنش ایلید با آب
۱۳	۱-۶- بررسی سینتیک ایلیدها
۱۹	فصل ۲
۱۹	شیمی محاسباتی
۲۰	۲-۱- مقدمه
۲۰	۲-۲- روش‌های محاسباتی مکانیک کوانتومی
۲۱	۲-۳- اتمهای چند الکترونی
۲۲	۲-۴- روش‌های ورای هارتی- فاک
۲۲	۲-۵- نظریه اتم‌ها در مولکول‌ها (AIM)
۲۵	۲-۶- تحلیل اوربیتال پیوندی طبیعی (NBO)
۲۶	۲-۷- معرفی نرم افزار گاووسی
۲۹	فصل ۳
۲۹	بخش تجربی (تعیین پایداری نسبی ایزومرهای Z و E در ایلیدهای فسفر با استفاده از تکنیکهای محاسباتی)
۳۰	۳-۱- مقدمه
۱۳	۳-۲- معرفی واکنشهای بررسی شده

۳۴ ۳-۳- روشهای محاسباتی
۳۴ ۴-۳- بحث و بررسی نتایج
۴-۳	- ۱- بررسی واکنش تری فنیل فسفین با دی آلكیل استیلن دی کربوکسیلات در حضور ۲- کلرو آنیلین
۳۵ ۴-۳- بررسی واکنش استرهای استیلنی با ۶- کلرو ۲- مرکاپتو بنزاکسازول در حضور تری فنیل فسفین
۴۶ ۴-۳- بررسی تعیین پایداری نسبی ایزومرهاي Z, E در واکنش بین تری فنیل فسفین (۱) با دی آلكیل استیلن دی کربوکسیلات (۲) در حضور تیازولیدینون ۲- تیون(۳) و ۴ و ۵ دی هیدروتیازول ۲- تیول (۴).
۷۸ ۴-۳- بررسی واکنش دی آلكیل استیلن دی کربوکسیلات با ۲- فلورو آنیلین در حضور تری فنیل فسفین
۸۵ ۴-۳- بررسی واکنش دی آلكیل استیلن دی کربوکسیلات با ۱- فنیل - ۳- پیرازولیدینون در حضور تری فنیل فسفین
۹۴ ۴-۳- بررسی واکنش دی آلكیل استیلن دی کربوکسیلات با ۲- ایندولینون در حضور تری فنیل فسفین
۱۰۳ ۴-۳- بررسی واکنش دی آلكیل استیلن دی کربوکسیلات با NH اسید کربازول در حضور تری اتیل فسفیت
۱۱۱ ۵-۳- نتیجه گیری
۱۱۱ ۶-۳- پیشنهادات
۱۱۲ مراجع

فهرست جداول

عنوان جدول

صفحه

جدول ۳-۱. انرژی نسبی (بر حسب kcal/mol) برای هر دو ایزومرهای Z و E از ایلیدهای 4a و 4c . محاسبه شده در سطحهای (B3LYP/6-311++g(d,p) و HF/6-31g(d,p)) و	۳۶
جدول ۳-۲. پارامترهای چرخشی مهم مربوط به پیوندهای هیدروژنی [اطول پیوندها (بر حسب انگستروم) و زاویه مربوط به آنها (بر حسب درجه)] برای هر دو ایزومرهای Z و E از ایلیدهای 4a و 4c	۳۹
جدول ۳-۳ مقادیر $c = -H(r) \times 10^4$, $a = \rho \times 10^3$, $b = \nabla^2 \rho \times 10^3$ برای هر دو ایزومرهای Z- 4a و E- 4a از ایلید 4a محاسبه شده در نقاط بحرانی پیوندهای هیدروژنی، همه کمیت‌ها در واحد اتمی هستند.	۴۱
جدول ۳-۴. مقادیر $c = -H(r) \times 10^4$, $a = \rho \times 10^3$, $b = \nabla^2 \rho \times 10^3$ برای هر دو ایزومرهای Z- 4c و E- 4c از ایلید 4c محاسبه شده در نقاط بحرانی پیوندهای هیدروژنی، همه کمیت‌ها در واحد اتمی هستند.	۴۱
جدول ۳-۵. پارامترهای هندسی مهم شامل مقادیر H_{tot}/au , ممان دوقطبی (بر حسب D) و تعداد پیوندهای هیدروژنی درون مولکولی برای هر دو ایزومرهای Z و E از ایلیدهای 4a و 4c . محاسبه	۴۲
جدول ۳-۶. بارهای تعدادی از اتمهای مختلف برای هر دو ایزومرهای Z و E از ایلیدهای 4a و 4c . محاسبه شده توسط روش‌های AIM و NPA و کلید واژه CHelpG در سطح	۴۲
جدول ۳-۷. مقادیر جابجایی‌های شیمیایی (بر حسب ppm) برای برخی از گروههای اصلی در ایزومر E-4a (minor isomer)	۴۴
جدول ۳-۸. مقادیر جابجایی‌های شیمیایی (بر حسب ppm) و ثابت‌های کوپلاز (بر حسب Hz) برای ¹³ C NMR	۴۴
برخی از گروههای اصلی در ایزومر E-4a (minor isomer)	۴۴
جدول ۳-۹. مقادیر جابجایی‌های شیمیایی (بر حسب ppm) برای برخی از گروههای اصلی در ایزومر Z-4a (major isomer)	۴۵
جدول ۳-۱۰. مقادیر جابجایی‌های شیمیایی (بر حسب ppm) و ثابت‌های کوپلاز (بر حسب Hz) برای ¹³ C NMR	۴۵
برخی از گروههای اصلی در ایزومر Z-4a (major isomer)	۴۵
جدول ۳-۱۱. انرژی نسبی (بر حسب kcal/mol) برای هر دو ایزومرهای Z و E از ایلیدهای 4a و 4c . محاسبه شده در سطحهای (B3LYP/6-311++g(d,p) و HF/6-31g(d,p)) و	۴۷
جدول ۳-۱۲. پارامترهای چرخشی مهم مربوط به پیوندهای هیدروژنی [اطول پیوندها (بر حسب انگستروم) و زاویه مربوط به آنها (بر حسب درجه)] برای هر دو ایزومرهای Z و E از ایلیدهای 4a و 4c .	۵۰
جدول ۳-۱۳. مقادیر $c = -H(r) \times 10^4$, $a = \rho \times 10^3$, $b = \nabla^2 \rho \times 10^3$ برای هر دو ایزومرهای Z- 4a و E- 4a از ایلید 4a محاسبه شده در نقاط بحرانی پیوندهای هیدروژنی، همه کمیت‌ها در واحد اتمی هستند.	۵۱
جدول ۳-۱۴. مقادیر $c = -H(r) \times 10^4$, $a = \rho \times 10^3$, $b = \nabla^2 \rho \times 10^3$ برای هر دو ایزومرهای Z- 4c و E- 4c از ایلید 4c محاسبه شده در نقاط بحرانی پیوندهای هیدروژنی، همه کمیت‌ها در واحد اتمی هستند.	۵۱
جدول ۳-۱۵. پارامترهای هندسی مهم شامل مقادیر H_{tot}/au , ممان دوقطبی (بر حسب D) و تعداد پیوندهای	۵۱

	هیدروژنی درون مولکولی برای هر دو ایزومرهای Z و E از ایلیدهای 4a و 4c
۵۲	جدول ۱۶-۳. بارهای تعدادی از اتمهای مختلف برای هر دو ایزومرهای Z و E از ایلیدهای 4a و 4c ، بترتیب محاسبه شده توسط روش‌های AIM و NPA و کلید واژه CHelpG در سطح HF/6-31g(d,p)
۵۳	جدول ۱۷-۳. مقادیر جابجایی‌های شیمیایی (بر حسب ppm) و ثابت‌های کوپلاز (بر حسب Hz) برای برخی از گروههای اصلی در ایزومر E-4a (minor isomer)
۵۴	جدول ۱۸-۳. مقادیر جابجایی‌های شیمیایی (بر حسب ppm) و ثابت‌های کوپلاز (بر حسب Hz) برای برخی از گروههای اصلی در ایزومر Z-4a (major isomer)
۵۵	جدول ۱۹-۳. مقادیر جابجایی‌های شیمیایی (بر حسب ppm) و ثابت‌های کوپلاز (بر حسب Hz) برای بعضی از گروههای اصلی در ایزومر E-4a (minor isomer)
۵۵	جدول ۲۰-۳. مقادیر جابجایی‌های شیمیایی (بر حسب ppm) و ثابت‌های کوپلاز (بر حسب Hz) برای برخی از گروههای اصلی در ایزومر Z-4a (major isomer)
۵۵	جدول ۲۱-۳. انرژی نسبی (kcal/mol) برای هر دو ایزومرهای Z و E از ایلیدهای 5a و 5c محاسبه شده در سطح‌های HF/6-31g(d,p) و B3LYP/6-311++g(d,p)
۵۹	جدول ۲۲-۳. انرژی نسبی (kcal/mol) برای هر دو ایزومرهای Z و E از ایلیدهای 6a و 6c محاسبه شده در سطح‌های HF/6-31g(d,p) و B3LYP/6-311++g(d,p)
۵۹	جدول ۲۳-۳. پارامترهای چرخشی مهم مربوط به پیوندهای هیدروژنی [طول پیوندها (بر حسب انگستروم) و زاویه مربوط به آنها (بر حسب درجه)] برای هر دو ایزومرهای Z و E از ایلیدهای 5a و 5c
۶۴	جدول ۲۴-۳. پارامترهای چرخشی مهم مربوط به پیوندهای هیدروژنی [طول پیوندها (بر حسب انگستروم) و زاویه مربوط به آنها (بر حسب درجه)] برای هر دو ایزومرهای Z و E از ایلیدهای 6a و 6c
۶۵	جدول ۲۵-۳. مقادیر $c = -H(r) \times 10^4$ و $b = \nabla^2 \rho \times 10^3$ برای هر دو ایزومرهای E-5a و Z-5a از ایلید 5a محاسبه شده در نقاط بحرانی پیوندهای هیدروژنی، همه کمیت‌ها در واحد اتمی هستند.
۶۶	جدول ۲۶-۳. مقادیر $c = -H(r) \times 10^4$ و $b = \nabla^2 \rho \times 10^3$ برای هر دو ایزومرهای E-5c و Z-5c از ایلید 5c محاسبه شده در نقاط بحرانی پیوندهای هیدروژنی، همه کمیت‌ها در واحد اتمی هستند.
۶۷	جدول ۲۷-۳. مقادیر $c = -H(r) \times 10^4$ و $b = \nabla^2 \rho \times 10^3$ برای هر دو ایزومرهای E-6a و Z-6a از ایلید 6a محاسبه شده در نقاط بحرانی پیوندهای هیدروژنی، همه کمیت‌ها در واحد اتمی هستند.
۶۷	جدول ۲۸-۳. مقادیر $c = -H(r) \times 10^4$ و $b = \nabla^2 \rho \times 10^3$ برای هر دو ایزومرهای E-6c و Z-6c از ایلید 6c محاسبه شده در نقاط بحرانی پیوندهای هیدروژنی، همه کمیت‌ها در واحد اتمی هستند.
۶۸	-	جدول ۲۹-۳. پارامترهای هندسی مهم شامل مقادیر H_{tot}/au ، ممان دوقطبی (بر حسب D) و تعداد پیوندهای هیدروژنی درون مولکولی برای هر دو ایزومرهای Z و E از ایلیدهای 5a و 5c
۶۹	-	جدول ۳۰-۳. پارامترهای هندسی مهم شامل مقادیر H_{tot}/au ، ممان دوقطبی (بر حسب D) و تعداد

۶۹	پیوندهای هیدروژنی درون مولکولی برای هر دو ایزومرهای <i>Z</i> و <i>E</i> از ایلیدهای 6a و 6c
جدول ۳۱-۳.	بارهای تعدادی از اتمهای مختلف برای هر دو ایزومرهای <i>Z</i> و <i>E</i> از ایلیدهای 6a و 6c , بترتیب	
۷۰HF/6-31g(d,p) CHelpG و کلید واژه NPA در سطح	محاسبه شده توسط روش‌های AIM و کلید واژه NPA در سطح CHelpG
جدول ۳۲-۳	بارهای تعدادی از اتمهای مختلف برای هر دو ایزومرهای <i>Z</i> و <i>E</i> از ایلیدهای 6a و 6c , بترتیب
۷۱HF/6-31g(d,p) CHelpG و کلید واژه NPA در سطح	محاسبه شده توسط روش‌های AIM و کلید واژه NPA در سطح CHelpG
جدول ۳۳-۳. ¹ H NMR مقادیر جابجایی‌های شیمیایی (بر حسب Hz) و ثابت‌های کوپلاز (بر حسب ppm)	مقادیر جابجایی‌های شیمیایی (بر حسب Hz) و ثابت‌های کوپلاز (بر حسب ppm)
۷۲ <i>Z</i> - 4a (major isomer) و <i>E</i> - 4a (minor isomer)	برای بعضی از گروههای اصلی در ایزومر
جدول ۳۴-۳. ¹³ C NMR مقادیر جابجایی‌های شیمیایی (بر حسب Hz) و ثابت‌های کوپلاز (بر حسب ppm)	مقادیر جابجایی‌های شیمیایی (بر حسب Hz) و ثابت‌های کوپلاز (بر حسب ppm)
۷۳ <i>E</i> - 4a (major isomer) و <i>Z</i> - 4a (minor isomer)	برای بعضی از گروههای اصلی در ایزومر
جدول ۳۵-۳.انرژی پایداری نسبی (بر حسب kcal/mol) برای هر دو ایزومرهای <i>Z</i> و <i>E</i> از ایلیدهای 5a و 6a .	انرژی پایداری نسبی (بر حسب kcal/mol) برای هر دو ایزومرهای <i>Z</i> و <i>E</i> از ایلیدهای 5a و 6a .
۷۵B3LYP/6-311++g(d,p) و HF/6-31g(d,p)	محاسبه شده در سطح‌های B3LYP/6-311++g(d,p) و HF/6-31g(d,p)
جدول ۳۶-۳.B3LYP/6-311++g(d,p) و HF/6-31g(d,p)	انرژی پایداری نسبی (بر حسب kcal/mol) برای هر دو ایزومرهای <i>Z</i> و <i>E</i> از ایلیدهای 5c و 6c .
۷۵B3LYP/6-311++g(d,p) و HF/6-31g(d,p)	محاسبه شده در سطح‌های B3LYP/6-311++g(d,p) و HF/6-31g(d,p)
جدول ۳۷-۳.انرژی نسبی (بر حسب kcal/mol) برای هر دو ایزومرهای <i>Z</i> و <i>E</i> از ایلیدهای 4a و 4c	انرژی نسبی (بر حسب kcal/mol) برای هر دو ایزومرهای <i>Z</i> و <i>E</i> از ایلیدهای 4a و 4c
۷۹B3LYP/6-311++g(d,p) و HF/6-31g(d,p)	محاسبه شده در سطح‌های B3LYP/6-311++g(d,p) و HF/6-31g(d,p)
جدول ۳۸-۳.[طول پیوند] (بر حسب انگستروم) و زاویه مربوط به آنها (بر حسب درجه)	پارامترهای چرخشی مهم مربوط به پیوندهای هیدروژنی [طول پیوند] (بر حسب انگستروم) و زاویه مربوط به آنها (بر حسب درجه)
۸۱ <i>Z</i> - 4a و <i>E</i> - 4a	برای هر دو ایزومرهای <i>Z</i> و <i>E</i> از ایلیدهای 4a و 4c
جدول ۳۹-۳. <i>b</i> = $\nabla^2\rho \times 10^3$ و <i>c</i> =- <i>H(r)</i> $\times 10^4$ و <i>a</i> = $\rho \times 10^3$	مقادیر <i>b</i> = $\nabla^2\rho \times 10^3$ و <i>c</i> =- <i>H(r)</i> $\times 10^4$ برای هر دو ایزومرهای <i>Z</i> - 4a و <i>E</i> - 4a از
۸۱	ایلید 4a محاسبه شده در نقاط بحرانی پیوندهای هیدروژنی، همه کمیت‌ها در واحد اتمی هستند.
جدول ۴۰-۳. <i>b</i> = $\nabla^2\rho \times 10^3$ و <i>c</i> =- <i>H(r)</i> $\times 10^4$ و <i>a</i> = $\rho \times 10^3$	مقادیر <i>b</i> = $\nabla^2\rho \times 10^3$ و <i>c</i> =- <i>H(r)</i> $\times 10^4$ برای هر دو ایزومرهای <i>Z</i> - 4c و <i>E</i> - 4c از
۸۱	ایلید 4c محاسبه شده در نقاط بحرانی پیوندهای هیدروژنی، همه کمیت‌ها در واحد اتمی هستند.
جدول ۴۱-۳. <i>H_{tot}/au</i> و ممان دوقطبی (بر حسب D)	پارامترهای هندسی مهم شامل مقادیر <i>H_{tot}/au</i> و ممان دوقطبی (بر حسب D) و تعداد پیوندهای
۸۲	هیدروژنی درون مولکولی برای هر دو ایزومرهای <i>Z</i> و <i>E</i> از ایلیدهای 4a و 4c
جدول ۴۲-۳.بارهای تعدادی از اتمهای مختلف برای هر دو ایزومرهای <i>Z</i> و <i>E</i> از ایلیدهای 4a و 4c , بترتیب	بارهای تعدادی از اتمهای مختلف برای هر دو ایزومرهای <i>Z</i> و <i>E</i> از ایلیدهای 4a و 4c , بترتیب
۸۲HF/6-31g(d,p) CHelpG و کلید واژه NPA در سطح	محاسبه شده توسط روش‌های AIM و کلید واژه NPA در سطح CHelpG
جدول ۴۳-۳. ¹ H NMR (ppm) برای برخی از گروههای اصلی در ایزومر	مقادیر جابجایی‌های شیمیایی (بر حسب ppm) برای برخی از گروههای اصلی در ایزومر
۸۳ <i>Z</i> - 4a (major isomer)	ایزومر (بر حسب ppm) برای برخی از گروههای اصلی در ایزومر
جدول ۴۴-۳. ¹ H NMR (ppm) برای برخی از گروههای اصلی در ایزومر	مقادیر جابجایی‌های شیمیایی (بر حسب ppm) برای برخی از گروههای اصلی در ایزومر
۸۳ <i>Z</i> - 4a (major isomer)	ایزومر (بر حسب ppm) برای برخی از گروههای اصلی در ایزومر
جدول ۴۵-۳. ¹³ C NMR (Hz) برای برخی از گروههای اصلی در ایزومر	مقادیر جابجایی‌های شیمیایی (بر حسب Hz) برای برخی از گروههای اصلی در ایزومر
 <i>Z</i> - 4a (major isomer)	برای برخی از گروههای اصلی در ایزومر

۸۴	جدول ۴۶-۳. انرژی نسبی (بر حسب kcal/mol) برای هر دو ایزومرهاي Z و E از ایلیدهای 4a و 4c محاسبه شده در سطحهای (HF/6-31g(d,p) و B3LYP/6-311++g(d,p))
۸۵	جدول ۴۷-۳. انرژی نسبی (بر حسب kcal/mol) برای هر دو ایزومرهاي Z و E از ایلیدهای 4a و 4c محاسبه شده در سطحهای (HF/6-31g(d,p) و B3LYP/6-311++g(d,p))
۸۶	جدول ۴۸-۳. پارامترهای چرخشی مهم مربوط به پیوندهای هیدروژنی [طول پیوند] (بر حسب انگستروم) و زاویه مربوط به آنها (بر حسب درجه) برای هر دو ایزومرهاي Z و E از ایلیدهای 4a و 4c
۸۹	جدول ۴۹-۳. مقادیر $c = -H(r) \times 10^3$, $a = \rho \times 10^3$, $b = \nabla^2 \rho \times 10^3$ برای هر دو ایزومرهاي Z- 4a و E- 4a از ایلید 4a محاسبه شده در نقاط بحرانی پیوندهای هیدروژنی، همه کمیت‌ها در واحد اتمی هستند.
۸۹	جدول ۵۰-۳. مقادیر $c = -H(r) \times 10^3$, $a = \rho \times 10^3$, $b = \nabla^2 \rho \times 10^3$ برای هر دو ایزومرهاي Z- 4c و E- 4c از ایلید 4c محاسبه شده در نقاط بحرانی پیوندهای هیدروژنی، همه کمیت‌ها در واحد اتمی هستند.
۹۰	جدول ۵۱-۳. پارامترهای هندسی مهم شامل مقادیر H_{tot}/au , ممان دوقطبی (بر حسب D) و تعداد پیوندهای هیدروژنی درون مولکولی برای هر دو ایزومرهاي Z و E از ایلیدهای 4a و 4c
۹۰	جدول ۵۲-۳. بارهای تعدادی از اتمهای مختلف برای هر دو ایزومرهاي Z و E از ایلیدهای 4a و 4c , بترتیب محاسبه شده توسط روش‌های AIM و NPA و کلید واژه CHelpG در سطح HF/6-31g(d,p)
۹۱	جدول ۵۳-۳. مقادیر جابجایی‌های شیمیایی (بر حسب ppm) و ثابت‌های کوپلاز (بر حسب Hz) برای بعضی از گروههای اصلی در ایزومر E-4a (minor isomer)
۹۲	جدول ۵۴-۳. مقادیر جابجایی‌های شیمیایی (بر حسب ppm) و ثابت‌های کوپلاز (بر حسب Hz) برای برخی از گروههای اصلی در ایزومر E-4a (minor isomer)
۹۳	جدول ۵۵-۳. مقادیر جابجایی‌های شیمیایی (بر حسب ppm) و ثابت‌های کوپلاز (بر حسب Hz) برای برخی از گروههای اصلی در ایزومر Z-4a (major isomer)
۹۳	جدول ۵۶-۳. مقادیر جابجایی‌های شیمیایی (بر حسب ppm) و ثابت‌های کوپلاز (بر حسب Hz) برای برخی از گروههای اصلی در ایزومر Z-4a (major isomer)
۹۴	جدول ۵۷-۳. انرژی نسبی (بر حسب kcal/mol) برای هر دو ایزومرهاي Z و E از ایلیدهای 4a و 4c محاسبه شده در سطحهای (HF/6-31g(d,p) و B3LYP/6-311++g(d,p))
۹۵	جدول ۵۸-۳. پارامترهای چرخشی مهم مربوط به پیوندهای هیدروژنی [طول پیوند] (بر حسب انگستروم) و زاویه مربوط به آنها (بر حسب درجه) برای هر دو ایزومرهاي Z و E از ایلیدهای 4a و 4c
۹۶	جدول ۵۹-۳. مقادیر $c = -H(r) \times 10^3$, $a = \rho \times 10^3$, $b = \nabla^2 \rho \times 10^3$ برای هر دو ایزومرهاي Z- 4a و E- 4a از ایلید 4a محاسبه شده در نقاط بحرانی پیوندهای هیدروژنی، همه کمیت‌ها در واحد اتمی هستند.
۹۹	جدول ۶۰-۳. مقادیر $c = -H(r) \times 10^3$, $a = \rho \times 10^3$, $b = \nabla^2 \rho \times 10^3$ برای هر دو ایزومرهاي Z- 4c و E- 4c از ایلید 4c محاسبه شده در نقاط بحرانی پیوندهای هیدروژنی، همه کمیت‌ها در واحد اتمی هستند.

۹۹	جدول ۶۱-۳. مقادیر $c = -H(r) \times 10^3$, $a = \rho \times 10^3$, $b = \nabla^2 \rho \times 10^3$ برای هر دو ایزومرهای Z-4c و E-4c از ایلید 4c محاسبه شده در نقاط بحرانی پیوندهای هیدروژنی، همه کمیت‌ها در واحد اتمی هستند.
۹۹	جدول ۶۲-۳. پارامترهای هندسی مهم شامل مقادیر H_{tot}/au , ممان دوقطبی (بر حسب D) و تعداد پیوندهای هیدروژنی درون مولکولی برای هر دو ایزومرهای Z و E از ایلیدهای 4c و 4a .
۱۰۰	جدول ۶۳-۳. مقادیر جابجایی‌های شیمیایی (بر حسب Hz) و ثابت‌های کوپلاز (بر حسب Hz) برای برخی از گروههای اصلی در ایزومر E-4a (minor isomer).
۱۰۱	جدول ۶۴-۳. مقادیر جابجایی‌های شیمیایی (بر حسب ppm) و ثابت‌های کوپلاز (بر حسب Hz) برای بعضی از گروههای اصلی در ایزومر E-4a (minor isomer).
۱۰۱	جدول ۶۵-۳. مقادیر جابجایی‌های شیمیایی (بر حسب ppm) و ثابت‌های کوپلاز (بر حسب Hz) برای برخی از گروههای اصلی در ایزومر Z-4a (major isomer).
۱۰۲	جدول ۶۶-۳. مقادیر جابجایی‌های شیمیایی (بر حسب Hz) و ثابت‌های کوپلاز (بر حسب Hz) برای برخی از گروههای اصلی در ایزومر Z-4a (major isomer).
۱۰۲	جدول ۶۷-۳. انرژی نسبی (بر حسب kcal/mol) برای هر دو ایزومرهای Z و E از ایلیدهای 4a و 4c محاسبه شده در سطحهای HF/6-31g(d,p) و B3LYP/6-311++g(d,p).
۱۰۴	جدول ۶۸-۳. پارامترهای چرخشی مهم مربوط به پیوندهای هیدروژنی [طول پیوندها (بر حسب انگستروم) و زاویه مربوط به آنها (بر حسب درجه)] برای هر دو ایزومرهای Z و E از ایلیدهای 4c و 4a .
۱۰۴	جدول ۶۹-۳. مقادیر $c = -H(r) \times 10^3$, $a = \rho \times 10^3$, $b = \nabla^2 \rho \times 10^3$ برای هر دو ایزومرهای Z-4a و E-4a از ایلید 4a محاسبه شده در نقاط بحرانی پیوندهای هیدروژنی، همه کمیت‌ها در واحد اتمی هستند.
۱۰۷	جدول ۷۰-۳. مقادیر $c = -H(r) \times 10^3$, $a = \rho \times 10^3$, $b = \nabla^2 \rho \times 10^3$ برای هر دو ایزومرهای Z-4c و E-4c از ایلید 4c محاسبه شده در نقاط بحرانی پیوندهای هیدروژنی، همه کمیت‌ها در واحد اتمی هستند.
۱۰۷	جدول ۷۱-۳. پارامترهای هندسی مهم شامل مقادیر H_{tot}/au , ممان دوقطبی (بر حسب D) و تعداد پیوندهای هیدروژنی درون مولکولی برای هر دو ایزومرهای Z و E از ایلیدهای 4c و 4a .
۱۰۸	جدول ۷۲-۳. بارهای تعدادی از اتمهای مختلف برای هر دو ایزومرهای Z و E از ایلیدهای 4a و 4c , بترتیب محاسبه شده توسط روش‌های AIM و NPA و کلید واژه CHelpG در سطح HF/6-31g(d,p).
۱۰۹	جدول ۷۳-۳. مقادیر جابجایی‌های شیمیایی (بر حسب ppm) و ثابت‌های کوپلاز (بر حسب Hz) برای بعضی از گروههای اصلی در ایزومر Z-4a (major isomer) و E-4a (minor isomer).
۱۰۹	جدول ۷۴-۳. مقادیر جابجایی‌های شیمیایی (بر حسب ppm) و ثابت‌های کوپلاز (بر حسب Hz) برای بعضی از گروههای اصلی در ایزومر Z-4a (major isomer) و E-4a (minor isomer).

فهرست شکل‌ها

عنوان

صفحه

شکل ۱-۱. سنتز ایلید فسفر هتروسیکل ناشی از واکنش بین تری فنیل فسفین(۱) با واکنش دی آکلیل استیلن دی کربوکسیلات (۲) در حضور ۲-آمینو بنزیمیدازول (۳)..... ۳	۱
شکل ۱-۲. سنتز ایلید فسفر هتروسیکل پایدار از واکنش بین تری فنیل فسفین(۱) با واکنش دی آکلیل استیلن دی کربوکسیلات (۲) در حضور ۲-آمینو-تیوفنل (۳)..... ۴	۲
شکل ۱-۳. سنتز ایلید های پایدار فسفر حاصل از واکنش بین تری فنیل فسفین (۱) با دی آکلیل استیلن دی کربوکسیلات (۲) در حضور ترکیبات ۱ و ۳ دی کربونیل ها (۳)..... ۴	۳
شکل ۱-۴. سنتز ایلید های پایدار فسفر حاصل از واکنش بین تری فنیل فسفین (۱) با دی آکلیل استیلن دی کربوکسیلات (۲) در حضور ترکیبات ۷-آزایندول (۳)..... ۵	۴
شکل ۱-۵. سنتز ایلید های پایدار فسفر حاصل از واکنش بین تری فنیل فسفین (۱) با دی آکلیل استیلن دی کربوکسیلات (۲) بترتیب در حضور ترکیبات (H ₂) - ۳-پیریدازینون، ۱-فنیل-۳-پیرازولیدینون، ۲-۴-تیازولینیدینون (۳)..... ۵	۵
شکل ۱-۶. سنتز ایلید های پایدار فسفر حاصل از واکنش بین تری فنیل فسفین (۱) با دی آکلیل استیلن دی کربوکسیلات (۲) در حضور ۲- مرکاپتو ۱-متیل ایمیدازول (۳)..... ۶	۶
شکل ۱-۷. سنتز ایلید های پایدار فسفر حاصل از واکنش بین تری فنیل فسفین (۱) با دی آکلیل استیلن دی کربوکسیلات (۲) بترتیب در حضور آنtron، دیمدون، اینداندیون (۳)..... ۶	۷
شکل ۱-۸. سنتز ایلید های پایدار فسفر حاصل از واکنش بین تری فنیل فسفین (۱) با دی آکلیل استیلن دی کربوکسیلات (۲) در حضور ۲ و ۳ - دی هیروکسی بنزالدهید(۳)..... ۷	۸
شکل ۱-۹. سنتز ایلیدهای فسفیت پایدار از واکنش تری اتیل فسفیت (۱) با دی متیل استیلن دی کربوکسیلات (۲) بترتیب در حضور NH اسیدهای (۳) ایندول(a) و ۲-متیل بنزوایمیدازول(b) و ۲-امینو بنزونیتریل(c)..... ۸	۹
شکل ۱-۱۰. واکنش ویتیگ جهت ایجاد پیوند دوگانه..... ۸	۱۰
شکل ۱-۱۱. ساختار ایلیدهای آزمودن..... ۹	۱۱
شکل ۱-۱۲. دو فرم ایلیدهای تری فنیل فسفونیوم..... ۹	۱۲
شکل ۱-۱۳. نمایشی از تبدیل دو فرم ایلید به یکدیگر..... ۱۰	۱۳
شکل ۱-۱۴. رزونانس (۲) و تبادل پروتون در اثر گرما و به واسطه حضور اسید مزدوج فناسیلید(۳)..... ۱۱	۱۴
شکل ۱-۱۵. دو فرم ایزومر چرخشی برای استر ایلید..... ۱۲	۱۵

شکل ۱-۱۶. تعادل وابسته به دما بین دو ایزومر هندسی (۵a) و (۵b).....	۱۲
شکل ۱-۱۷. واکنش ایلیدها با آب.....	۱۳
شکل ۱-۱۸. بررسی سینتیک ایلیدهای فسفر پایدار حاصل واکنش بین تری فنیل فسفین (۱) با دی الکیل استیلن دی کربوکسیلات (۲a, ۲b, ۲c) بترتیب در حضور NH اسیدهایی (۳) چون ۳ و ۶ - دی برمو کربازول (A), پیرازول (B) و ۳ و ۵ متیل پیرازول (C).....	۱۴
شکل ۱-۱۹. بررسی سینتیک ایلیدهای فسفر پایدار حاصل واکنش بین تری فنیل فسفین (۱) با دی الکیل استیلن دی کربوکسیلات (۲a, ۲c) در حضور SH اسید ۲- امینوتیوفنول (۳).....	۱۵
شکل ۱-۲۰. بررسی سینتیک ایلیدهای فسفر پایدار حاصل واکنش بین تری فنیل فسفین (۱) با دی الکیل استیلن دی کربوکسیلات (۲a, ۲b, ۲c) در حضور NH اسید بنزامید (۳).....	۱۵
شکل ۱-۲۱. بررسی سینتیک ایلیدهای فسفر پایدار حاصل واکنش بین تری فنیل فسفین (۱) با دی الکیل استیلن دی کربوکسیلات (۲a, ۲c) در حضور SH اسید ۲- امینوتیوفنول (۳).....	۱۶
شکل ۱-۲۲. (A) واکنش تری فنیل فسفین (۱) با دی آلکیل استیلن دی کربوکسیلات (۲) در حضور ۲- مرکاپتو-۴- و ۶- دی متیل پیریمیدین (۳). (B) مکانیسم پیشنهادی برای واکنش تری فنیل فسفین (۱) و دی آلکیل استیلن دی کربوکسیلات (۲) در حضور ۲- مرکاپتو-۴- و ۶- دی متیل پیریمیدین (۳).....	۱۷
شکل ۳-۱. (I) شمای کلی ایلید سنتز شده حاصل از واکنش بین دی الکیل استیلن دی کربوکسیلات (A) با تری فنیل فسفین (B) در حضور ۷- آزایندول (C) به عنوان N-H اسید به همراه شمایی از دو فرم Z, E این ایلید (J).....	۳۰
شکل ۳-۲. واکنش تری فنیل فسفین (۱) با دی آلکیل استیلن دی کربوکسیلات (۲) در حضور ۲- کلروانیلین (۳).....	۳۱
شکل ۳-۳. واکنش تری فنیل فسفین (۱) با دی آلکیل استیلن دی کربوکسیلات (۲) در حضور ۶- کلرو-۲- بنزوکسازول تیول (۳).....	۳۱
شکل ۳-۴. واکنش بین تری فنیل فسفین (۱) و دی آلکیل استیلن دی کربوکسیلات (۲a یا ۲c) بترتیب در حضور تیازولیدینون ۲- تیون (۳) و ۴ و ۵ دی هیدروتیازول ۲- تیول (۴).....	۳۲
شکل ۳-۵. واکنش دی آلکیل استیلن دی کربوکسیلات (۲) با ۲- فلورو آنیلین (۳) در حضور تری فنیل فسفین (۱).....	۳۲
شکل ۳-۶. واکنش بین ۱- فنیل ۳- پیرازولیدینون (۳) با دی آلکیل استیلن دی کربوکسیلات (۲) در حضور تری اتیل فسفیت (۱).....	۳۳
شکل ۳-۷. واکنش بین ۲- ایندولینون (۳) با دی آلکیل استیلن دی کربوکسیلات (۲) در حضور تری فنیل فسفین (۱).....	۳۳

شکل ۳-۸. واکنش دی‌آلکیل استیلن دی کربوکسیلات (۲) با کربازول (۳) در حضور تری فنیل

۳۳ فسفین(۱)

شكل ٣-٩(i) واکنش بین تری فنیل فسفین ١، دی آلكیل استیلن دی کربوکسیلات ٢a یا و

۶-کلرو-۲-مرکاپتو بنزو اکسازول ۳ برای تولید ایلیدهای فسفر پایدار ۴ (۴a یا ۴c) (j). ایزومرهای Z-4a و

۳۵ E-4a به ترتیب Major و Minor (از ایلید ۴a

شکل ۳-۱۰. (i) پیوندهای هیدروژنی درون مولکولی (خط چین) برای هر دو ایزومرهای Z-4a و E-4a از

ایلید پایدار 4a. (ج) قسمتی از گرافهای مولکولی، شامل نقاط بحرانی پیوندهای هیدروژنی درون مولکولی

۳۷(H-BCPs) برای هر دو ایزومرهای چرخشی Z-4a و E-4a

شکل ۳-۱۱. (i) پیوندهای هیدروژنی درون مولکولی (خط چین) برای هر دو ایزومرهای Z-4c و E-4c

از ایلید پایدار 4c (ج) قسمتی از گرافهای مولکولی، شامل نقاط بحرانی پیوندهای هیدروژنی درون مولکولی

۳۸ (H-BCPs) برای هر دو ایزومرهای چرخشی Z-4c و E-4c

شکل ۳-۱۲. شمایی از دو ایزومر Z , به همراه شماره‌ی اتم‌های درگیر در ثابت‌های کوپلاژ و جابجایی‌های

^{۴۳} شیمیایی برای این دو ایزومر.....

شکل ۳-۱۳. (i) واکنش بین تری فنیل فسفین ۱، دی‌آلکیل استیلن دی کربوکسیلات (۲a یا ۲c)

و-۶-کلرو-۲-مرکاپتو بنزو اکسازول ۳ برای تولید ایلیدهای فسفر پایدار ۴ (۴a یا ۴c) (j) ایزومرهای

..... و E-4a (به ترتیب Major و Minor) از ایلید 4a Z-4a

شکل ۳-۱۴. (i) پیوندهای هیدروژنی درون مولکولی (خط چین) برای هر دو ایزومرهای a و Z-4a

از ایلید پایدار 4a (j) قسمتی از گرافهای مولکولی، شامل نقاط بحرانی پیوندهای هیدروژنی درون مولکولی

(H-BCPs) برای هر دو ایزومرهای چرخشی E-4a و Z-4a

شکل ۳-۱۵. (i) پیوندهای هیدروژنی، درون مولکولی (خط چین) پرای هر دو اینومرهای E-4c و Z-4c

از ایلید پایدار 4c. (j) قسمتی از گرافهای مولکولی، شامل نقاط بحرانی پیوندهای هیدروژنی درون مولکولی

.....E-4c Z-4c (H-BCPs) برای هر دو ایزومرهای چرخشی

شكل ٣-١٦. (١) واکنش بین تی فنیل، فسفسین (١) با دی آکتیل استیلن دی کربوکسیلات (٢a و ٢c)

در حضور ۶-کلرو-۲-مرکاپتو بنزو اکسازول (۳) همراه با شماره ی (j) تعدادی از اتم های درگیر در ثابت های

۶ کوپلر و جابجایی‌های شیمیایی برای دو ایزومر Z-4a و E-4a

شکل ۳-۱۷. (A) واکنش بین تری فنیل فسفین ۱، دی آکلیل استیلن دی کربوکسیلات ۲a یا ۲c

بتر تیپ در حضور تیازولیدینون ۲-تیون(۳) و ۴۹۵ دی هیدروتیازول ۲-تیول(۴) بتر تیپ پرای تولید

اپلیدهای فسفر پایدار 5 (5a) یا 5c و 6 (6a) یا 6c این‌ومرهای Z-(a,c) و E-(a,c) به ترتیب Minor

و Major) از ایلید 5. (C) ایزومرهای Z-(a, c) و (a, c) به ترتیب Minor و Major (از ایلید 6) و

شکل ۳-۱۸. (i) پیوندهای هیدروژنی درون مولکولی (خط چین) برای هر دو ایزومرهای Z-5a و E-5a از ایلید پایدار ۵a (j) قسمتی از گرافهای مولکولی، شامل نقاط بحرانی پیوندهای هیدروژنی درون مولکولی	۶۰.....
شکل ۳-۱۹. (i) پیوندهای هیدروژنی درون مولکولی (خط چین) برای هر دو ایزومرهای Z-5c و E-5c از ایلید پایدار ۵c (j) قسمتی از گرافهای مولکولی، شامل نقاط بحرانی پیوندهای هیدروژنی درون مولکولی	۶۱.....
شکل ۳-۲۰. (i) پیوندهای هیدروژنی درون مولکولی (خط چین) برای هر دو ایزومرهای Z-6a و E-6a از ایلید پایدار ۶a (j) قسمتی از گرافهای مولکولی، شامل نقاط بحرانی پیوندهای هیدروژنی درون مولکولی	۶۲.....
شکل ۳-۲۱. (i) پیوندهای هیدروژنی درون مولکولی (خط چین) برای هر دو ایزومرهای Z-6c و E-6c از ایلید پایدار ۶c (j) قسمتی از گرافهای مولکولی، شامل نقاط بحرانی پیوندهای هیدروژنی درون مولکولی	۶۳.....
شکل ۳-۲۲. شمایی از دو فرم ایزومر Z-5a و E-5a به همراه شماره‌ی تعدادی از اتم‌های درگیر در ثابت‌های کوپلاز و جابجایی‌های شیمیایی برای دو ایزومر Z-5a و E-5a	۷۲.....
شکل ۳-۲۳. فرایند تبدیل درونی ایزومرهای هندسی برای ایلیدهای ۴a و ۴c (A) یک سد انرژی بسیار زیاد برای فرایند تبدیل درونی بین ایزومرهای Z-4c و E-4c (B) یک سد انرژی کوچک برای فرایند تبدیل درونی بین ایزومرهای Z-4a و E-4a	۷۴.....
شکل ۳-۲۴. نمودار مقایسه‌ی انرژی نسبی محاسبه شده در سطح HF/6-31G(D,P) برای ایزومرهای Z-5a, E-5a, Z-6a, E-6a	۷۵.....
شکل ۳-۲۵. نمودار مقایسه‌ی انرژی نسبی محاسبه شده در سطح B3LYP/6-311++G(D,P) برای ایزومرهای Z-5a, E-5a, Z-6a, E-6a	۷۶.....
شکل ۳-۲۶. نمودار مقایسه‌ی انرژی نسبی محاسبه شده در سطح HF/6-31G(D,P) برای ایزومرهای Z-5a, E-5a, Z-6a, E-6a	۷۶.....
شکل ۳-۲۷. نمودار مقایسه‌ی انرژی نسبی محاسبه شده در سطح B3LYP/6-311++G(D,P) برای ایزومرهای Z-5a, E-5a, Z-6a, E-6a	۷۷.....
شکل ۳-۲۸-۳. شکل ۲۸-۳. (i) واکنش بین تری فنیل فسفین(1) با دی‌آلکیل استیلن دی‌کربوکسیلات ۲c و ۲a) در حضور ۲-فلورو آنیلین(3) به همراه (j) شمایی از دو ایزومر Z و E	۷۸.....

- شکل ۳-۲۹. (i) پیوندهای هیدروژنی درون مولکولی (خط چین) برای هر دو ایزومرهای **Z-4a** و **E-4a** از ایلید پایدار **4a** (j) قسمتی از گرافهای مولکولی، شامل نقاط بحرانی پیوندهای هیدروژنی درون مولکولی (H-BCPs) برای هر دو ایزومرهای چرخشی **Z-4a** و **E-4a** ۸۰
- شکل ۳-۳۰. (i) پیوندهای هیدروژنی درون مولکولی (خط چین) برای هر دو ایزومرهای **Z-4c** و **E-4c** از ایلید پایدار **4c** (j) قسمتی از گرافهای مولکولی، شامل نقاط بحرانی پیوندهای هیدروژنی درون مولکولی (H-BCPs) برای هر دو ایزومرهای چرخشی **Z-4c** و **E-4c** ۸۱
- شکل ۳-۳۱. شمایی از دو ایزومر **E-4a** و **Z-4a** به همراه شماره تعدادی از اتم های درگیر در ثابتها کوپلاز و جابجایی های شیمیایی برای این دو ایزومر ۸۴
- شکل ۳-۳۲. (i) واکنش بین تری فنیل فسفین(۱) با دی آلکیل استیلن دی کربوکسیلات (**2a** و **2c**) در حضور ۱-فنیل-۳-پیرازولیدینون(۳) به همراه (j) شمایی از دو فرم ایزومری **Z** و **E** ۸۷
- شکل ۳-۳۳. (i) پیوندهای هیدروژنی درون مولکولی (خط چین) برای هر دو ایزومرهای **Z-4a** و **E-4a** از ایلید پایدار **4a** (j) قسمتی از گرافهای مولکولی، شامل نقاط بحرانی پیوندهای هیدروژنی درون مولکولی (H-BCPs) برای هر دو ایزومرهای چرخشی **a** و **Z-4a** ۸۸
- شکل ۳-۳۴. (i) پیوندهای هیدروژنی درون مولکولی (خط چین) برای هر دو ایزومرهای **Z-4c** و **E-4c** از ایلید پایدار **4c** (j) قسمتی از گرافهای مولکولی، شامل نقاط بحرانی پیوندهای هیدروژنی درون مولکولی (H-BCPs) برای هر دو ایزومرهای چرخشی **Z-4c** و **E-4c** ۸۹
- شکل ۳-۳۵. شمایی از دو ایزومر **E-4a** و **Z-4a** به همراه شماره تعدادی از اتم های درگیر در ثابتها کوپلاز و جابجایی های شیمیایی برای این دو ایزومر ۹۲
- شکل ۳-۳۶. (i) پیوندهای هیدروژنی درون مولکولی (خط چین) برای هر دو ایزومرهای **Z-4a** و **E-4a** از ایلید پایدار **4a** (j) قسمتی از گرافهای مولکولی، شامل نقاط بحرانی پیوندهای هیدروژنی درون مولکولی (H-BCPs) برای هر دو ایزومرهای چرخشی **a** و **Z-4a** ۹۸
- شکل ۳-۳۷. (i) پیوندهای هیدروژنی درون مولکولی (خط چین) برای هر دو ایزومرهای **Z-4c** و **E-4c** از ایلید پایدار **4c** (j) قسمتی از گرافهای مولکولی، شامل نقاط بحرانی پیوندهای هیدروژنی درون مولکولی (H-BCPs) برای هر دو ایزومرهای چرخشی **Z-4c** و **E-4c** ۹۹
- شکل ۳-۳۸. شمایی از دو فرم ایزومر **E-4a** و **Z-4a** به همراه شماره تعدادی از اتم های درگیر در ثابتها کوپلاز و جابجایی های شیمیایی برای دو ایزومر **E-4a** و **Z-4a** ۱۰۱
- شکل ۳-۳۹. واکنش بین تری فنیل فسفین(۱) با دی آلکیل استیلن دی کربوکسیلات (**2a** و **2c**) در حضور کربازول(۳) ۱۰۴